















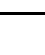
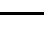





Técnica	Capacitância Efetiva	Atraso da Interconexão	Degradação do <i>Slew</i>
<b>Elmore Delay</b> (ELMORE, 1948)			
<b>D2M</b> (Alpert et. al., 2000)			
<b>PERI</b> (Kashyap et. al., 2002)			
<b>S2M</b> (Agarwal et. al., 2004)			
<b>AWE</b> (PILLAGE; ROH RER, 1990)			
<b>PRIMA</b> (ODABASIOGLU; CELIK; PILEGGI, 1997)			
<b>ECM</b> (KASHYAP; ALPERT; DEVGAN, 2000)			
<b>PURI</b> (PURI; KUNG; DRUMM, 2002)	